

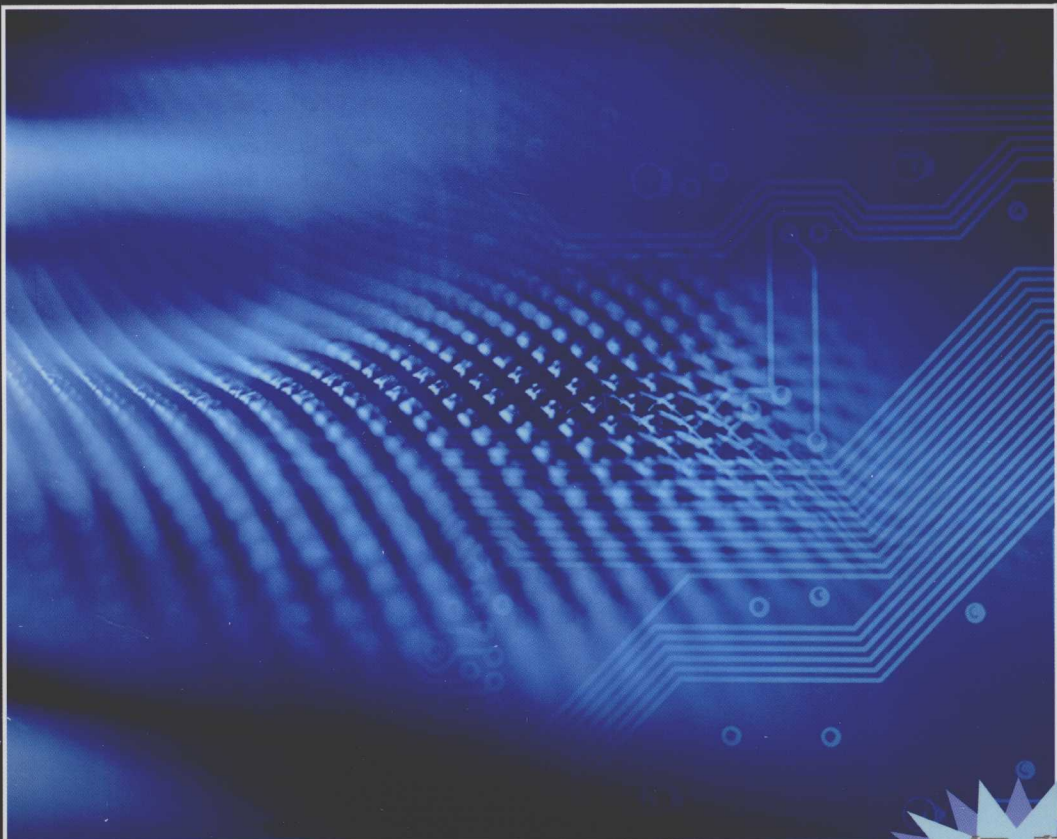


普通高等教育“十一五”国家级规划教材

# 电机学

汤蕴璆 罗应立 梁艳萍 编著

第3版



免费  
电子课件



# 普通高等教育“十一五”国家级规划教材

# 电机学

第3版

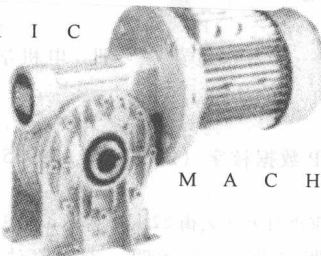
汤蕴璆 罗应立 梁艳萍 编著  
徐 怡 刘公直 主审

上海海洋大学



00759406

E L E C T R I C



M A C H I N E R Y



机械工业出版社

本书是普通高等教育“十一五”国家级规划教材。

全书共 10 章。前 8 章阐述磁路、变压器、直流电机、交流电机理论的共同问题、感应电机、同步电机、机电能量转换原理，以及永磁电动机和开关磁阻电动机。后两章阐述控制电机和电机的发热与冷却。除第 8、9、10 三章以外，每章后面附有习题和部分计算答案。为引导学生用计算机来求解电机问题，针对感应电机的稳态运行计算，编入相应的计算机源程序。书末编入 6 个附录，对于希望深入理解电机理论及其工程应用的学生和青年教师，会有一定帮助。全书的编写方针为“削枝强干，推陈出新”。

本书可作为高等学校电气工程与自动化专业和其他强、弱电结合专业的教材，也可供有关科技人员作为参考用书。

#### 图书在版编目 (CIP) 数据

电机学/汤蕴璆，罗应立，梁艳萍编著. —3 版. —北京：机械工业出版社，2008.5

普通高等教育“十一五”国家级规划教材

ISBN 978-7-111-06862-4

I. 电… II. ①汤… ②罗… ③梁… III. 电机学 - 高等学校 - 教材  
IV. TM3

中国版本图书馆 CIP 数据核字 (2008) 第 079935 号

机械工业出版社（北京市百万庄大街 22 号 邮政编码 100037）

责任编辑：卢若薇 版式设计：霍永明 责任校对：李秋荣

封面设计：张 静 责任印制：乔 宇

北京机工印刷厂印刷（兴文装订厂装订）

2008 年 10 月第 3 版第 1 次印刷

184mm × 260mm · 26 印张 · 618 千字

标准书号：ISBN 978-7-111-06862-4

定价：43.00 元

凡购本书，如有缺页、倒页、脱页，由本社发行部调换

销售服务热线电话：(010) 68326294

购书热线电话：(010) 88379639 88379641 88379643

编辑热线电话：(010) 88379711

封面无防伪标均为盗版

## 前 言

本书是在 2005 年出版的“十五”国家级规划教材《电机学第 2 版》的基础上，对近年来国内外出版的新教材进行分析后，全面修改而成。

全书共 10 章，总教学时数为 90~100 学时。除第 8 章、第 9 章和第 10 章以外，每章后面附有习题及部分答案。书末编有 6 个附录。本书可作为高等学校电气工程与自动化专业和其他强、弱电结合专业的教材，也可供科技人员作为参考用书。

本书是教育部立项的高等教育“十一五”国家级规划教材，其特点是：

- (1) 注重基本概念、基本理论和基本方法的阐述，使学生掌握分析电机的方法，建立牢固的物理概念，为学习后续课程和今后解决日常遇到的工程问题做好准备。
- (2) 阐明机电能量转换的机制和条件，为将来开发和研究新型电机建立准则。
- (3) 对直流电机和其他过时、次要的内容，以及属于设计、工艺和结构方面的内容，进行较多的删减。
- (4) 为适应近年来电机理论的发展和科研、生产的需要，编入“永磁电动机和开关磁阻电动机”一章。
- (5) 编入用计算机对感应电机稳态运行进行计算的内容。
- (6) 各章具有相对独立性，讲授次序可以根据具体情况进行调整。
- (7) 选学内容由教师根据具体情况选定，不再标明。
- (8) 书末的 6 个附录，内容属于正文所述基本内容的扩展和深化，对于希望较为深入地理解电机理论及其工程应用的学生、青年教师和科技人员，会有一定帮助。

全书的编写方针是：“削枝强干，推陈出新”，目标是编写一本取材精、科学性强、概念清、适应面宽和便于教学的教材。

关于三相电压、电流和三相绕组的下角标注，考虑到国际上绝大多数电机学教材仍沿用 A、B、C 和 a、b、c（对转子或二次绕组），且 A、B、C 的大、小写书写起来不易混同，故从教学角度考虑，本书仍沿用 A、B、C 而不用 U、V、W。

本书由汤蕴璆、罗应立和梁艳萍编著，罗应立教授参加了第 1 章的编写，梁艳萍教授参加了第 2 章的编写，汤蕴璆教授负责其他各章和附录的编写和全书的修改以及定稿。本书由哈尔滨大电机研究所徐怡高级工程师和刘公直高级工程师担任主审。两位主审对许多问题的写法提出了宝贵意见，并提供了一些数据，对此编者表示衷心感谢。另外，编者还要对为本书第 1 版和第 2 版作出很大贡献的史乃教授表示感谢。哈尔滨电机厂、沈阳变压器厂和大连电机厂等单位为本书提供了产品照片，在此一并表示感谢。

作者

2007 年 12 月

## 主要符号表

$A$	面积;A相	$f_N$	额定频率
$a$	交流绕组的并联支路数;线负载;a相;	$f_\nu$	$\nu$ 次谐波频率
$a$	120°复数算子	$H$	磁场强度
$a_+$	直流电枢绕组的并联支路对数	$H_M$	永磁体内的磁场强度
$B$	磁通密度;B相	$I$	电流(交流表示有效值);同步电机的电枢电流 或直轴电枢的漏磁通
$B_\delta$	气隙磁密	$I_a$	直流电机的电枢电流
$B_{ad}$	直轴电枢磁场磁密	$I_m$	交流激磁电流
$B_{aq}$	交轴电枢磁场磁密	$I_f$	直流励磁电流
$b$	宽度;磁通密度瞬时值;b相	$I_\mu$	激磁电流中的磁化分量
$C$	C相	$I_N$	额定电流
$C_T$	转矩常数	$I_0$	空载电流;零序电流
$C_e$	电动势常数	$I_k$	短路电流;堵转电流
$c$	比热容;c相	$I_{st}$	起动电流
$D_1$	定子内径	$I_1$	变压器一次绕组(感应电机定子)电流
$D_a$	电枢外径	$I_2$	变压器二次绕组(感应电机转子)电流
$E$	电动势(交流表示有效值)	$I'_2$	$I_2$ 的归算值
$E_\phi$	相电动势	$I_+$	正序电流
$E_0$	空载电动势,激磁电动势	$I_-$	负序电流
$E_1$	变压器一次绕组(感应电机定子绕组)中由主磁通所感应的电动势(有效值)	$i$	电流的瞬时值
$E_2$	变压器二次绕组(感应电机转子绕组)中由主磁通所感应的电动势(有效值)	$K$	换向片数
$E'_2$	$E_2$ 的归算值	$k_i$	电流比
$E_q$	$q$ 个线圈的合成电动势	$k_e$	电动势比
$e$	电动势的瞬时值	$k_{dl}$	基波分布因数
$e_c$	换向电动势;线圈电动势	$k_{pl}$	基波节距因数
$F$	磁动势	$k_{w1}$	基波绕组因数
$F_a$	电枢磁动势	$k_{dv}$	$\nu$ 次谐波的分布因数
$F_m$	感应电机的激磁磁动势	$k_{pv}$	$\nu$ 次谐波的节距因数
$F_{ad}$	直轴电枢磁动势	$k_{ww}$	$\nu$ 次谐波的绕组因数
$F_{aq}$	交轴电枢磁动势	$L$	自感
$F_{\phi 1}$	单相绕组的基波磁动势	$L_{1\sigma}$	变压器一次绕组(感应电机定子)的漏磁电感
$F_{\phi\nu}$	单相绕组的 $\nu$ 次谐波磁动势	$L_{2\sigma}$	变压器二次绕组(感应电机转子)的漏磁电感
$F_{q1}$	$q$ 个线圈的基波合成磁动势	$l$	长度
$f$	频率;电磁力;磁动势的瞬时值	$M$	互感,物体的质量
$f_1$	定子频率	$m_1$	交流电机定子的相数
$f_2$	转子频率	$m_2$	感应电机转子的相数

$N$	每相串联匝数	每相串联匝数	$s_+$	转子对正向旋转磁场的转差率
$N_c$	每个线圈的匝数	每个线圈的匝数	$s_-$	转子对反向旋转磁场的转差率
$n$	转子转速	转子转速	$T$	转矩;时间常数;发热时间常数
$n_N$	额定转速	额定转速	$T'$	冷却时间常数
$n_0$	空载转速	空载转速	$T_e$	换向期
$n_s$	同步转速	同步转速	$T_d'$	直轴瞬态时间常数
$n_v$	$v$ 次谐波旋转磁场的转速	$v$ 次谐波转速	$T_a$	电枢时间常数
$n_2$	转子基波旋转磁场相对于转子的转速	$n_2$	$T_f$	励磁绕组时间常数
$n_{oi}$	理想空载转速	理想空载转速	$T_N$	额定转矩
$\Delta n$	转速调整率	转速调整率	$T_k$	堵转转矩
$P$	功率	功率	$T_0$	空载转矩
$P_N$	额定功率	额定功率	$T_2$	输出转矩
$P_e$	电磁功率	电磁功率	$T_L$	负载转矩
$P_\alpha$	转换功率	转换功率	$T_e$	电磁转矩
$P_k$	短路功率;堵转功率	短路功率;堵转功率	$T_{max}$	最大转矩
$P_i$	输入功率	输入功率	$T_{pi}$	同步电动机的牵引转矩
$P_2$	输出功率	输出功率	$T_{st}$	起动转矩
$P_0$	空载功率	空载功率	$T_{e+}$	正序电磁转矩
$p$	损耗;极对数	损耗;极对数	$T_{e-}$	负序电磁转矩
$p$	时间的微分算子	时间的微分算子	$t$	时间
$p_{Cu}$	铜耗	铜耗	$U$	电压(交流表示有效值)
$p_{Fe}$	铁耗	铁耗	$U_N$	额定电压
$p_\Delta$	杂散损耗	杂散损耗	$U_\phi$	相电压
$p_\alpha$	机械损耗	机械损耗	$U_L$	线电压
$Q$	槽数	槽数	$U_1$	电源电压;定子端电压
$q$	每极每相槽数	每极每相槽数	$U_+$	正序电压
$q$	热流密度	热流密度	$U_-$	负序电压
$R$	电阻	电阻	$U_0$	空载电压;零序电压
$R_m$	激磁电阻;磁阻	激磁电阻;磁阻	$U_k$	短路电压;堵转电压
$R_1$	变压器一次绕组(感应电机定子)电阻	变压器一次绕组(感应电机定子)电阻	$u$	电压的瞬时值
$R_2$	变压器二次绕组(感应电机转子)电阻	变压器二次绕组(感应电机转子)电阻	$\Delta u$	电压调整率
$R'_2$	$R_2$ 的归算值	$R_2$ 的归算值	$2\Delta u_s$	每对电刷的电压降
$R_f$	励磁绕组电阻	励磁绕组电阻	$v$	线速度
$R_a$	电枢电阻	电枢电阻	$W$	功;能
$R_k$	变压器(感应电机)的短路电阻	变压器(感应电机)的短路电阻	$W_m$	磁场能量
$R_\lambda$	导热热阻	导热热阻	$W'_m$	磁共能
$R_\alpha$	散热热阻	散热热阻	$X$	电抗
$R_i$	绕组主绝缘的导热热阻	绕组主绝缘的导热热阻	$X_a$	电枢反应电抗
$S$	视在功率	视在功率	$X_+$	正序电抗
$S_N$	额定视在功率	额定视在功率	$X_-$	负序电抗
$s$	转差率	转差率	$X_0$	零序电抗
$s_N$	额定转差率	额定转差率	$X_{ad}$	直轴电枢反应电抗
$s_m$	临界转差率	临界转差率	$X_{sq}$	交轴电枢反应电抗

$X_\sigma$	定子漏抗	$\theta_0$	冷态温度	空载漏电抗
$X_s$	同步电抗	$\Delta\theta$	温升	空载漏电抗
$X_d$	直轴同步电抗	$\Delta\theta_{Cu}$	铜线温升	直轴漏电抗
$X_q$	交轴同步电抗	$\Delta\theta_{Fe}$	铁心温升	交轴漏电抗
$X_m$	激磁电抗	$\Delta\theta_\infty$	稳态温升	激磁漏电抗
$X_k$	短路电抗	$A$	磁导	短路漏电抗
$X_{1\sigma}$	变压器一次绕组(感应电机定子)漏抗	$A_\sigma$	漏磁导	直轴漏电抗
$X_{2\sigma}$	变压器二次绕组(感应电机转子)漏抗	$\lambda$	单位面积的磁导; 导热系数	漏电抗
$X_{2\sigma}'$	$X_{2\sigma}$ 的归算值	$\mu$	磁导率; 转子谐波次数	漏电抗
$X_d'$	直轴瞬态电抗	$\mu_0$	空气磁导率	漏电抗
$X_d''$	直轴超瞬态电抗	$\mu_{Fe}$	铁心磁导率	漏电抗
$X_q''$	交轴超瞬态电抗	$\nu$	谐波次数	漏电抗
$y$	绕组的合成节距	$\tau$	极距	漏电抗
$y_1$	第一节距	$\Phi$	磁通量, 热流	漏电抗
$y_c$	换向器节距	$\Phi_0$	空载磁通; 直流电机和同步电机的主磁通	漏电抗
$Z$	阻抗; 电枢导体数	$\Phi_a$	电枢反应磁通	漏电抗
$Z_m$	激磁阻抗	$\Phi_m$	变压器或感应电机的主磁通	漏电抗
$Z_k$	短路阻抗	$\Phi_\sigma$	漏磁通	漏电抗
$Z_+$	正序阻抗	$\Phi_{ad}$	直轴电枢反应磁通	漏电抗
$Z_-$	负序阻抗	$\Phi_{aq}$	交轴电枢反应磁通	漏电抗
$Z_0$	零序阻抗	$\Phi_v$	$v$ 次谐波磁通	漏电抗
$Z_{1\sigma}$	变压器一次绕组(感应电机定子)的漏阻抗	$\Phi_{Cu}$	铜线发出的热流	漏电抗
$Z_{2\sigma}$	变压器二次绕组(感应电机转子)的漏阻抗	$\Phi_{Fe}$	铁心发出的热流	漏电抗
$Z_{2\sigma}'$	$Z_{2\sigma}$ 的归算值	$\phi$	磁通量的瞬时值	漏电抗
$\alpha$	角度; 相邻两槽间的电角度; 散热系数	$\varphi$	相角; 功率因数角	漏电抗
$\beta$	夹角; $q$ 个线圈的总夹角	$\varphi_0$	空载功率因数角	漏电抗
$\delta$	气隙长度; 功率角	$\varphi_k$	短路功率因数角	漏电抗
$\delta_1$	转矩角(气隙合成磁场与定子磁动势间的夹角)	$\psi$	磁链; $\dot{E}$ 和 $i$ 间的夹角	漏电抗
$\varepsilon$	小数; 短距角	$\psi_0$	同步电机定子的内功率因数角; 零序磁链	漏电抗
$\eta$	效率	$\psi_2$	感应电机转子的内功率因数角	漏电抗
$\eta_N$	额定效率	$\psi_d$	直轴磁链	漏电抗
$\eta_{max}$	最大效率	$\psi_q$	交轴磁链	漏电抗
$\theta$	温度; 角度	$\Omega$	转子的机械角速度	漏电抗
$\theta_s$	定子上的电角度	$\Omega_s$	同步机械角速度	漏电抗
		$\omega$	角频率; 电角速度	漏电抗

# 目 录

前言	1
主要符号表	1
<b>绪论</b>	1
0.1 电机在国民经济中的作用	1
0.2 电机发展简史	2
0.3 我国电机工业发展概况	6
0.4 电机的分析方法	7
0.5 本课程的任务	9
0.6 课程特点和学习方法建议	9
<b>第1章 磁路</b>	11
1.1 磁路的基本定律	13
1.2 常用的铁磁材料及其特性	16
1.3 磁路的计算	21
习题	27
<b>第2章 变压器</b>	29
2.1 变压器的工作原理和基本结构	31
2.2 变压器的空载运行	34
2.3 变压器的负载运行和基本方程	39
2.4 变压器的等效电路	41
2.5 等效电路参数的测定	46
2.6 三相变压器	48
2.7 标幺值	54
2.8 变压器的运行特性	57
2.9 变压器的并联运行	61
2.10 三绕组变压器、自耦变压器和仪用互感器	64
小结	69
习题	71
<b>第3章 直流电机</b>	75
3.1 直流电机的工作原理和基本结构	77
3.2 直流电枢绕组	82
3.3 空载和负载时直流电机的磁场	88
3.4 电枢的感应电动势和电磁转矩	91

3.5 直流电机的基本方程 .....	93
3.6 直流发电机的运行特性 .....	96
3.7 直流电动机的运行特性 .....	100
3.8 直流电动机的起动、调速和制动 .....	106
3.9 换向 .....	111
小结 .....	115
习题 .....	116
<b>第4章 交流电机理论的共同问题 .....</b>	<b>119</b>
4.1 交流绕组的构成原则和分类 .....	121
4.2 三相双层绕组 .....	121
4.3 三相单层绕组 .....	126
4.4 气隙磁场正弦分布时交流绕组的感应电动势 .....	129
4.5 感应电动势中的高次谐波 .....	134
4.6 通有正弦电流时单相绕组的磁动势 .....	138
4.7 通有对称三相电流时三相绕组的磁动势 .....	143
4.8 交流电机的电磁转矩 .....	149
小结 .....	153
习题 .....	154
<b>第5章 感应电机 .....</b>	<b>157</b>
5.1 三相感应电机的结构和运行状态 .....	159
5.2 三相感应电动机的磁动势和磁场 .....	162
5.3 三相感应电动机的电压方程和等效电路 .....	168
5.4 感应电动机的功率方程和转矩方程 .....	175
5.5 笼型转子的极数、相数和参数的归算 .....	182
5.6 感应电动机参数的测定 .....	185
5.7 感应电动机的转矩 - 转差率曲线 .....	187
5.8 感应电动机的工作特性 .....	190
5.9 感应电动机的起动,深槽和双笼电动机 .....	192
5.10 感应电动机的调速 .....	197
5.11 单相感应电动机 .....	201
5.12 感应发电机和直线感应电动机 .....	207
小结 .....	209
习题 .....	211
<b>第6章 同步电机 .....</b>	<b>215</b>
6.1 同步电机的基本结构和运行状态 .....	217
6.2 空载和负载时同步发电机的磁场 .....	222
6.3 隐极同步发电机的电压方程、相量图和等效电路 .....	226

6.4 凸极同步发电机的电压方程和相量图 .....	229
6.5 同步发电机的功率方程和转矩方程 .....	233
6.6 同步电抗的测定 .....	234
6.7 同步发电机的运行特性 .....	237
6.8 同步发电机与电网的并联运行 .....	240
6.9 同步电动机与同步补偿机 .....	250
6.10 同步发电机的不对称运行 .....	258
6.11 同步发电机的三相突然短路 .....	267
小结 .....	275
习题 .....	277
<b>第7章 机电能量转换原理 .....</b>	<b>281</b>
7.1 机电能量转换过程中的能量关系 .....	283
7.2 机电装置的电能输入、磁场储能和机械能输出 .....	284
7.3 机电装置中的能量转换过程 .....	292
7.4 机电能量转换的条件 .....	296
小结 .....	299
习题 .....	300
<b>第8章 永磁电动机和开关磁阻电动机 .....</b>	<b>303</b>
8.1 永磁电动机 .....	305
8.2 正弦波永磁无刷电动机 .....	308
8.3 矩形波永磁无刷电动机 .....	311
8.4 开关磁阻电动机 .....	317
<b>第9章 控制电机 .....</b>	<b>327</b>
9.1 直流测速发电机 .....	329
9.2 直流伺服电动机 .....	330
9.3 交流两相伺服电动机 .....	331
9.4 旋转变压器 .....	333
9.5 自整角机 .....	335
<b>第10章 电机的发热和冷却 .....</b>	<b>339</b>
10.1 电机的温升和温升限值 .....	341
10.2 电机内热量的传导和散出 .....	342
10.3 绕组和铁心的稳态温升 .....	345
10.4 在不同的工作制下运行时电机的发热和冷却 .....	347
10.5 电机的冷却方式 .....	350
<b>附录 .....</b>	<b>353</b>
附录 A 感应电动势 .....	353

A. 1 法拉第电磁感应定律	353
A. 2 槽内线圈的感应电动势	357
<b>附录 B 电磁转矩</b>	<b>361</b>
B. 1 载流导体和铁磁物质在磁场中所受到的力	361
B. 2 铁磁物质和空气交界面处的磁场力	362
B. 3 载流导体置于槽内时作用在电枢上的切向电磁力	364
B. 4 用磁能和虚位移法求旋转电机的电磁转矩	366
B. 5 用磁共能和虚位移法求旋转电机的电磁转矩	369
B. 6 用虚位移法求电磁转矩时应注意的问题	371
B. 7 用 $T_e = \frac{\partial W_m'}{\partial \theta}$ 导出交流电机的电磁转矩公式	372
<b>附录 C 分数槽绕组</b>	<b>375</b>
C. 1 分数槽绕组相带的划分	375
C. 2 分数槽叠绕组和波绕组	377
C. 3 分数槽绕组的对称条件	380
C. 4 分数槽绕组的磁动势	381
<b>附录 D 谐波磁场对三相感应电动机转矩 - 转差率曲线的影响</b>	<b>385</b>
D. 1 异步寄生转矩	385
D. 2 同步寄生转矩	386
D. 3 削弱寄生转矩的方法	387
<b>附录 E 两相感应电动机的不对称运行</b>	<b>388</b>
E. 1 两相对称分量法	388
E. 2 对称两相感应电动机的不对称运行	389
E. 3 不对称两相感应电动机的运行	393
<b>附录 F 用动态电路法和 dq0 变换导出同步电机的运动方程</b>	<b>396</b>
F. 1 在 ABC 坐标系中同步发电机的运动方程	396
F. 2 dq0 变换和派克方程	399
F. 3 对称稳态运行时同步发电机的电压方程	402
<b>参考文献</b>	<b>404</b>

## 绪论

### 0.1 电机在国民经济中的作用

电机是一种机电能量转换或信号转换的电磁机械装置。就能量转换的功能来看，电机可分为发电机和电动机两大类。发电机用以把机械能转换为电能。在发电站中，通过原动机先把各类一次能源（燃料发出的热能，水的位能，原子能，风能等）蕴藏的能量转换为机械能，然后通过发电机把机械能转换为电能，再经输、配电网络送往城市各工矿企业、家庭等各种场合供公众使用。电动机把电能转换为机械能，用来驱动各种用途的生产机械和装置，满足不同的需求。电力变压器则是将一种交流电压、电流转换成同频率的另一种电压、电流的静止电器。

由于一次能源形态的不同，可以制成不同类型的发电机。利用水力资源，和水轮机配合，可制成水轮发电机；利用煤、石油等能源的热能，和锅炉、汽轮机配合，可制成汽轮发电机。此外，还有利用风能、原子能等能源的各类发电机。

到 2006 年底，我国的电站总装机容量已达 6.24 亿 kW，年总发电量为 2.85 万亿 kW·h。从发电量看，已居世界第二位。随着三峡水利电力工程和大亚湾、秦山等核电站的建成和发电，逐年加大了水力资源的开发和建设核电站的投资。我国西部各水系蕴藏着丰富的水力资源，新疆、内蒙、黑龙江和沿海各省拥有丰富的风力资源。优先发展水电，加快发展风电，积极发展核电，将会增加洁净能源的比重，这不仅将大大改善环境保护，并且是一条可持续发展之路。

电动机作为动力设备，已广泛应用于机械行业的工作母机，冶金行业的高炉、转炉、平炉和轧钢机，交通运输行业中的电车、电力机车，各类企业中的鼓风、起吊、运输传送，农业中的电力排灌、农副产品加工，以及医疗器械、家用电器等各行各业，大至冶金企业使用的高达上万千瓦的电动机，小至小功率电动机、乃至几瓦的微电动机。在各类动力机械中，电动机的容量已超过总容量的 60%。

根据应用场合的要求和电源的不同，电动机有直流电动机、交流同步电动机、交流感应电动机，以及满足不同需求的特种电动机。20 世纪 70 年代以后，由于大功率电力电子器件、微电子器件、变频技术以及计算机技术取得的一系列进展，还研制出多种调速性能优良、效率较高、能满足不同要求的交流电动机调速系统，和由变频器供电的一体化电机。

就信号转换功能的控制电机而言，大体上有测速电机、伺服电机、旋转变压器和自整角机等几种，这些电机主要用于自动控制系统中作为检测、执行、随动和解算元件，例如机床加工的自动控制，舰船方向舵的自动控制，大炮和雷达的自动定位，飞机的飞行控制，计算机、自动记录仪表运行的控制等。这类电机通常为微型电机，对精度和快速响应的要求较高。

总之，在电力工业中，发电机是生产电能的主要设备；变压器是变电站输、配电线路中

对电压进行变换的主要设备；在机械、冶金、纺织、煤炭、石油、化工、交通运输和家用电器等行业中，电动机是各种生产机械的主要动力设备；在国防和民用的各种自动控制系统中，控制电机是重要和不可缺少的元件。因此，电机在国民经济的各个领域中起着极其重要的作用。

## 0.2 电机发展简史

电机发展的历史，大体上可以分成三个时期：①直流电机的产生和形成时期；②交流电机的形成时期；③电机理论、设计和制造工艺逐步达到完善化的时期。

### 1. 直流电机的产生和形成时期

初期的电机发展史，主要是直流电机发展的历史。1821年，法拉第（Faraday）发现了载流导体在磁场内受力的现象；1831年，法拉第又发现了电磁感应定律。两年以后，皮克西（Pixii）利用永久磁铁和线圈之间的相对运动和一个换向装置，制成了一台旋转磁极式直流发电机，这就是现代直流发电机的雏型。虽然早在1833年，楞茨（Lenz）已经证明了电机的可逆原理，但在1870年以前，直流发电机和电动机一直被看作为两种不同的电机各自独立发展着。对于直流电动机，当时是以电磁铁之间的相互吸引和排斥作为制造电动机的指导思想，并采用蓄电池为电源。因此要使电动机在工业中得到应用，就必须提供较大的廉价的直流电源。

这样，由于生产（电报、电解、电镀、电动机电源）上的需要，使直流发电机得到较快的发展。在1834~1870年这段时间内，发电机方面出现了三个重大的发明和改进。在励磁方面，首先从永磁转变到用电流来励磁，其后又从用蓄电池他励发展到自励。在电枢方面，1870年格拉姆（Gramme）提出了环形电枢绕组以代替凸极式的T形电枢绕组。由于环形绕组为分布绕组，电压脉动较小，换向和散热情况也较好，所以T形绕组不久就被淘汰。关于环形电枢绕组，早先曾在电动机模型中提出过，但没有受到重视。格拉姆在发电机上提出环形电枢结构以后，人们对发电机和电动机中的这两种结构进行了对比，最后终于使电机的可逆原理为大家所接受，此后直流发电机和电动机的发展合二为一。

1870~1890年是直流电机发展的另一个阶段。1873年，海夫纳-阿尔泰涅克（Hefner-Alteneck）发明了鼓形电枢绕组，提高了电枢导线的利用率。为了加强绕组的机械固定和减少铜线内部的涡流损耗，绕组的有效部分被放到铁心的槽中。1880年爱迪生（Edison）提出采用叠片铁心，以减少铁心损耗、降低电枢绕组的温升。鼓形电枢绕组和开槽、叠片铁心的结构，一直沿用到今天。

上述进步使得直流电机的电磁负荷、单机容量和效率大为提高，这样，换向器上的火花问题就成为当时的突出问题。1884年出现了换向极和补偿绕组，1885年开始用炭粉来做电刷。这些措施使火花问题暂告缓和，另一方面又促进了电磁负荷和单机容量的进一步提高。

在电机理论方面，1886年霍普金生兄弟（John and Edward Hopkinson）确立了磁路的欧姆定律。1891年阿诺特（Arnold）建立了直流电枢绕组理论。这些理论使直流电机的设计和计算建立在更为科学的基础上。到19世纪90年代，直流电机已经具备了现代直流电机的

主要结构特点。

1882 年是电机发展史上的一个转折点。这一年，台勃莱兹（Deprez）把米斯巴哈水电站发出的 2kW 的直流电，用一条长 57km 的输电线送到慕尼黑，从而为电能和电机的应用打开了广阔的前景。随着直流电的广泛应用，直流电机很快就暴露出其固有的缺点。众所周知，远距离输电时，电压越高，线路的损耗就越小，但是制造高压直流发电机却有很大的困难。此外，随着单机容量的日益增大，直流电机的换向也越来越困难。因此 19 世纪 80 年代以后，人们的注意力就逐渐转移到交流方面。

## 2. 交流电机的形成和发展时期

早在 1832 年，单相交流发电机就已出现。但是在 1870 年以前，人们对交流电还不很了解，生产上也没有对交流电的需要。1876 年，亚勃罗契柯夫（Яблочиков）首次采用交流和开磁路式串联变压器给“电烛”供电。1884 年，霍普金生兄弟发明了具有闭合磁路的变压器。次年，齐波诺斯基（Zipernowsky）、德利（Deri）和勃拉第（Blathy）等三人又提出了变压器的芯式和壳式结构，以后单相变压器在照明系统中得到了一定的应用。但是应用交流电来驱动各种工作机械的问题仍未获得解决。

交流感应电动机的发明，与产生旋转磁场这一研究工作紧密相连。1825 年，阿拉果（Arago）利用金属圆环的旋转，使悬挂在其中的磁针得到一定的偏转，这一现象实质上就是多相感应电动机的原始工作基础。1879 年，拜依莱（Bailey）采用依次变动四个磁极上的激磁电流的办法，首次用电的办法获得了旋转磁场。1883 年，台勃莱兹提出，把两个在时间和空间上各自相差  $1/4$  周期的交变磁场所合成，可以得到一个旋转磁场。1885 年，弗拉利斯（Ferraris）把利用交流电来产生旋转磁场，和采用铜盘来产生感应涡流这两个思想结合在一起，制成了第一台两相感应电动机；1888 年，他又提出了“利用交流电来产生电动旋转”的经典论文。同一时期，台斯拉（Tesla）也独立地从事于旋转磁场的研究，而且几乎与弗拉利斯同时发明了感应电动机。

1889 年，多利伏 - 多勃罗伏尔斯基（Доливо - Добровольский）提出采用三相制的建议，并设计和制出了三相感应电动机。与单相或两相系统比较，三相输电系统的效率较高，用铜也较节省；三相电机的性能、效率和材料利用也比两相电机好。三相制的优点，在 1891 年建成的从劳芬到法兰克福的三相电力系统中得到充分显示。这个系统的顺利运行表明，三相交流电不但便于输送和分配，也可用作电力驱动；三相电动机的结构简单、工作可靠。到 20 世纪初叶，在电力工业中，交流三相制已占有绝对统治的地位。

19 世纪 80 年代的末期，由于交流发电站的迅速发展，要求发展能与发电机直接连接的高速原动机。由于许多科技人员的潜心研究，很快就出现了高速的汽轮机。到 90 年代初期，许多电站中已经装有 1000kW 的汽轮发电机组。此后，三相同步发电机的结构逐渐划分为高速和低速两类，高速的以汽轮发电机为代表，低速的以水轮发电机为代表。同时，由于比较明显的原因，几乎所有的制造厂都采用了磁极旋转、电枢绕组嵌放在定子铁心槽内的结构。随着电力系统的逐渐扩大，频率也趋于标准化，欧洲以 50Hz 为标准工频，美国以 60Hz 为标准工频。

由于工业和运输方面的需要，19 世纪 90 年代还出现了由交流变换为直流的旋转变流机，以及交流换向器电机。

在电机理论方面，1893 年左右，开耐莱（Kenelly）和司坦麦茨（Steinmetz）开始利用复数和相量来分析交流电路。1894 年，海兰（Heyland）发表了“多相感应电动机和变压器性能的图解确定法”的论文，是为感应电机理论的第一篇经典论文。同年，弗拉利斯已经采用把脉振磁场分解为两个大小相等、转向相反的旋转磁场的办法来分析单相感应电动机，这种方法以后被称为双旋转磁场理论。1894 年前后，波梯（Potier）又建立了交轴磁场理论。1899 年，在研究凸极同步电动机的电枢反应时，勃朗台尔（Blondel）提出了双反应理论，此理论后来成为研究所有凸极电机的基础。

总的讲来，到 19 世纪结束时，各种交、直流电机的基本类型及其基本理论和设计方法，大体上都已建立起来。

### 3. 电机理论、设计和制造工艺逐步达到完善化的时期

20 世纪是电机发展史中的一个新时期。这个时期的特点是：由于工业的发展，对电机提出各种新的和更高的要求；另外，由于自动化技术的需要，出现了一系列控制电机。在这个时期内，由于对电机内部所发生的电磁、发热和其他过程进行了深入的研究，加上材料的改进，使得交、直流电机的单机容量和材料利用得到很大的提高，电机的性能也有显著改进。

就材料利用来说，以德国 AEG 厂出品的三相笼型 3.7kW、1500r/min 的感应电动机为例，1889 年该机重 155kg，1901 年减少到 108kg，1930 年进一步降低到 42kg，外形尺寸也显著减小。就单机容量来说，20 世纪初，水轮发电机的最大单机容量不超过 1000kW，而现在则已达到 700MW；汽轮发电机的单机容量开始不超过 5000kW，1930 年提高到 100MW，40 年代和 50 年代，由于采用了氢冷、氢内冷、油冷和水冷等冷却方法，单机容量进一步提高。目前汽轮发电机的单机容量已超过 1000MW。

在电机理论方面，1918 年，福提斯古（Fortescue）提出了求解三相不对称问题的一般方法——对称分量法，使不对称运行时电机内部的物理情况得以弄清，并使同步电机和感应电机的分析方法初步得到统一。1926 ~ 1930 年，道赫提（Doherty）和聂克尔（Nickle）两人在发展勃朗台尔双反应理论的基础上，先后发表了五篇经典论文，在仔细地分析了气隙比磁导和同步电机内部的磁场分布以后，导出了凸极同步电机的稳态电压方程和相量图，直轴和交轴同步电抗，稳态和瞬态时同步电机的功角特性，以及三相和单相突然短路时的短路电流；初步建立起同步电机稳态和瞬态分析的理论和计算方法。同一时期，许多学者（Wiesmann, Alger, Park, Kilgore）又研究了电枢漏抗、同步电抗和直轴瞬态电抗的计算公式和测定方法，为同步电机稳态和瞬态参数的计算确立了基础。1929 年，派克（Park）发表了“同步电机的双反应理论（I）——通用分析方法”的经典论文，提出 dq0 变换和瞬态运行时同步电机的电压方程（即派克方程），以及运算电抗的概念等一系列思想。以后又经过一批学者（Crary, Concordia, Rankin, Stanley, Lyon, Clarke）的多年努力，使交流电机的瞬态分析理论得以建立。

为了进一步找出分析各种电机的统一方法，经过对各类电机的综合考察，1935 ~ 1938 年，克朗（Kron）提出了原型电机的概念，并且利用张量分析来研究旋转电机。这种方法的特点是，一旦列出原型电机的运动方程，通过特定的转换张量，就可以求出其他各种电机的运动方程。线圈的连接，电刷或集电环的引入，对称分量和其他各种分量的应用等等，都

相当于一定的坐标变换。张量方法的应用，不但揭示了各种电机和各种分析方法之间的相互联系，从而使电机理论趋于统一，而且还为许多复杂问题的求解提供了途径，所以它是电机理论的一个重大发展。

在 1920 ~ 1940 年间，还有许多学者（Dreyfus, Punga, Fritz, Möller, Heller）对双笼和深槽电机的理论和计算方法，谐波磁场所产生的寄生转矩及其削弱，感应电机的噪声等问题进行了一系列的研究，使感应电机的运行性能得到明显提高。

20 世纪 40 年代前后，由于第二次世界大战的影响，自动控制技术得到了很大的发展，此时出现了一系列新的控制电机，例如电机放大机，交流测速发电机，旋转变压器等。同时，自整角机和伺服电动机的性能也有很大的提高。同一时期，小型分马力电机的理论也有较大的发展。

1954 年，柯伐煦（Kovács）提出了空间矢量法，并导出在转速为任意值  $\omega_k$  的旋转坐标系中感应电机的空间矢量电压方程，为感应电机的速度和转矩控制打下了理论基础。1957 ~ 1969 年，卡佐夫斯基（Казовский）发表了一系列论文，提出用频率法来分析和求解交流电机的各种瞬态过程和非正常运行情况，为交流电机的瞬态分析作出了新的贡献。但是在计算机引入以前，对于转速为变量的交流电机动态问题，除极少数借助于微分分析器和动态模型机组而得到解答之外，其余则无法求出解答。1965 年以后，计算机逐步被引入到电机工程的各个领域，先是模拟计算机，然后是数字计算机。由于数字计算机的快速发展和各种数值方法和软件包的应用，各种电机内的磁场分布，参数的不饱和及饱和值，以及电机内三维温度场的分布等等，都可以用计算机得到其数值解。由于状态方程和数值解法的引入，动态运行时交流电机的非线性运动方程也得以顺利解出，使各种动态问题的计算、分析得以实现。这是电机分析中的又一次突破。

关于电枢绕组内的电动势和电磁转矩的产生机理和计算，自从电枢开槽、线圈置于槽内以后，由于导体所处位置的磁场明显减弱，线圈的感应电动势和作用在转子上的电磁转矩是否会相应减小？虽然电机制造的实践表明，开槽以后感应电动势和电磁转矩并未发生变化，但是理论上应当如何解释，此问题曾经长期困扰着电机工程的研究人员。从 1896 年一直到 1960 年，经过许多学者的认真分析、推导和实验研究，此问题最终从理论上得到解决。接下来是电机内机电能量转换的机理问题。就交流电动机而言，电能是如何输入到气隙磁场并转变成磁能，磁能又在什么条件下变换为机械能，并输出给负载？从 1950 年开始，国内外许多学者对此问题进行了一系列的研究。到目前为止，对于线性情况，此问题可认为已经解决；对于非线性情况，不少问题还有待于进一步研究。

在旋转电机的理论体系方面，从 1959 年起，以怀特和伍德逊（White, Woodson）为首，逐步建立起机电能量转换的新体系。这种体系的特点是：把旋转电机作为机电装置的一种，从电磁场理论出发求出其参数，从汉密尔顿原理和拉格朗日方程出发建立其运动方程，用统一的方法来研究各种电机的电动势、电磁转矩和能量转换的条件和机制，用统一的方法（动态电路法，坐标变换，方块图和传递函数，状态方程等）来分析电机的稳态和动态性能，以及电机和系统的联系，从而使整个电机理论建立在一个更加严密和便于利用电子计算机来求解的基础上。

20 世纪 70 年代以后，由于大电流晶闸管的发展，出现了便于控制、体积小、噪声小的大容量直流电源，从而使直流电动机的良好调速性能得以进一步发挥。使用由电力电子器件

所构成的变频器作为交流电动机的调频电源，可使感应电动机和同步电动机得到平滑、宽广的调速，并具有较高的效率，从而改进了交流电动机的调速性能。1971年，勃拉舒克(Bla-schke)和海斯(Hasse)根据坐标变换理论，将交流电机的磁场解耦，模拟直流电机转矩的控制规律，提出交流电机的“矢量变换控制”，加上电力电子技术的发展，使交流电动机的速度和转矩控制技术发生了一次飞跃。

80年代以后，由于永磁材料、电力电子和自动控制技术的发展，使永磁无刷电机和开关磁阻电机等新型电机得到较快的发展。

90年代以后，一种场路结合的有限元-状态空间耦合时步法得到应用。此法先用求解三维非线性恒定磁场的有限元法，求得定、转电流和转子位置为某一组设定值时电机的饱和参数；再用此参数代入状态方程，用数值法解出动态过程中某一步长时定、转子电流和转子位置的即时值；再用修正的电流和位置值重新计算参数。经过多次迭代，可得该步长时参数、电流和转子位置的确认值。然后一个步长、一个步长地往前计算，最后得到整个动态过程中的电流、转速、转矩和功角等。由于此法既考虑了参数的饱和值，又避免用时步法直接求解三维非线性瞬态场，这样一方面减少了计算难度和计算时间，又可得到较高的精度，从而使交流电机的动态计算又前进了一步。

理想的目标是，利用求解定、转子具有相对运动，计及铁心的非线性和磁滞、涡流损耗，以及定、转子端部磁场的瞬态非线性三维涡流场的时步法，来求解任意供电波形下交流电机的动态过程。近年来，随着计算机内存的扩展、CPU速度的不断提高和计算方法的不断改进，相信在不远的将来，这一目标一定能够达到。

关于电机和电机理论的发展简史，就介绍到这里。研究电机的发展历史，有助于我们认识电机的发展规律及其进一步发展的途径。

### 0.3 我国电机工业发展概况

解放前，我国的电机工业极端落后，全国只有少数几个城市有电机制造厂。这些厂规模小，设备差，生产能力低下，产品规格混乱，材料多依赖于进口。解放前的最高年产量(1947年)，发电机为2万kW，电动机为5.1万kW，交流发电机的单机容量不超过200kW，交流电动机不超过230kW。1949年全国装机容量仅为1850MW，年发电量约43亿kW·h。

建国以来，我国的电机制造工业得到快速发展，从仿制阶段到自行设计阶段一直到研究、创新阶段，经过50年的努力，我国已经建立起自己的电机工业体系，有了统一的国家标准和统一的产品系列，建立了全国性的研究实验基地和研究、工程技术人员队伍。在大型交、直流电机方面，已研制成功 $2 \times 5000$ kW的直流电动机，4700kW的直流发电机和42MW的同步电动机。在大型发电设备方面，已研制出300MW和600MW的水氢氢冷汽轮发电机，300MW的双水内冷和全氢冷汽轮发电机，650MW的核电机组；还相继研制出125MW、250MW、300MW、550MW和700MW的水轮发电机。电力变压器的最大容量已做到840MVA，电压最高为750kV。

在中、小型和微型电机方面，已开发和制成125个系列、上千个品种、几千个规格的各种电机。在特殊电机方面，由于新的永磁材料的出现，制成了许多高效节能、维护简单的永